安全ネットの性能実験結果について

Results of performance tests of the safety net

 脇
 賢・

 菊
 池
 定
 男・

 神
 田
 淳・

We examined for performance of shock absoling and movement of dummy when a dummy was fallen on the sefety net. Cousequenty;

- 1. Negative acceleration that the dummy was fallen on the net was 14G in 3m high, 17G in 5m high.
- 2. When the dummy was fallen on the safety net, the behavior of that was shown by photo No4~8.

1 はじめに

近年、都市の近代化に伴い、高層建物からの火 災が多くなってきたため、人命救助技術も高度の ものが要求されている。特に高所の訓練には、隊 員の安全管理の問題が重要であり、訓練用資器材 として安全ネットが多く使われている。また、災 害現場では、高所から飛び降りる人を救助するた めに、ネットの活用方法なども検討されている。

このような状況の中で,安全ネットに関し強度, 展張方法,緩衝性能など基本的なことを把握して おく必要があるため実験を行ったので,その概要 を報告する。

2. 供試ネットの構造, 寸法, 材質等

実験に使用したネットは、図1に示すとおり、 大きさが 4 m角で菱目の有結節と無結節の 2種 類である。なお、各部の寸法、材質等については、 表1のとおりである。

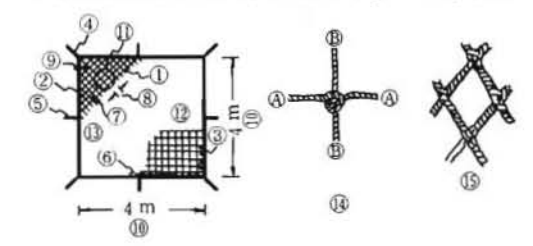
3. 落下体の構造、材質、寸法等

(1) 砂 袋

図2に示すとおり円筒形の布製バック内に砂を入れ、その底部に鉄板を敷き、その中央部に50G用の加速度変換器を取り付けたものである。総重量は64kgとした。

(2) ダミー

このダミーは、救助マット等の実験用あるい は救助訓練用として作られたもので、図3に示 すとおり身長は160cm、体重は32kgである。胴体



番 号	名称	番号	名称
1 2 3 4 5 6 7	網線 全國 全国 医二甲基甲基甲基甲基甲基甲基甲基甲基甲基甲基甲基甲基甲基甲基甲基甲基甲基甲基甲基	9 10 11 12 13 14 15	結 上網角菱有無 結 立 節節 節節 節節

図1 ネット各部の名称

表1 ネットの寸法、材質

ø	EL-	寸法		材質
名称		供試ネット	既配置ネット	
網	糸	4mm	4.2mm	+
吊	髓	12mm	12mm	1
緑	網	12mm	12mm	×
仕 立	寸 法	縦4 m, 横4 m	縦5 m, 横8 m	
網目の	大きさ	100mm	90mm	

部、腕部、脚部の身幹中心には人体骨格に相当 する直径 4 mmの鋼線を配し、身体部はポリエス テル樹脂をガラス繊維で補強した FRP で作ら れている。各部の重量配分は、表2のとおり人 間とほぼ同じに作られている。

[•] 第三研究室

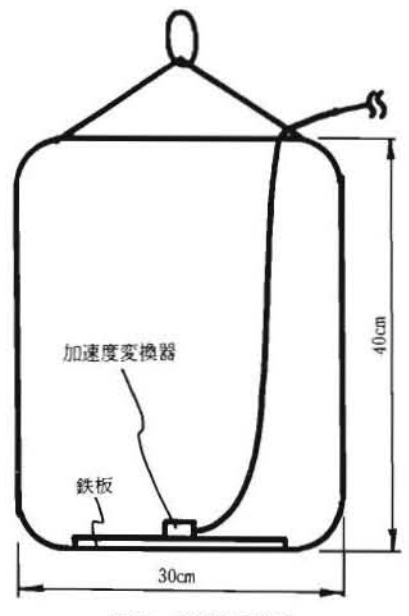


図2 砂袋の構造

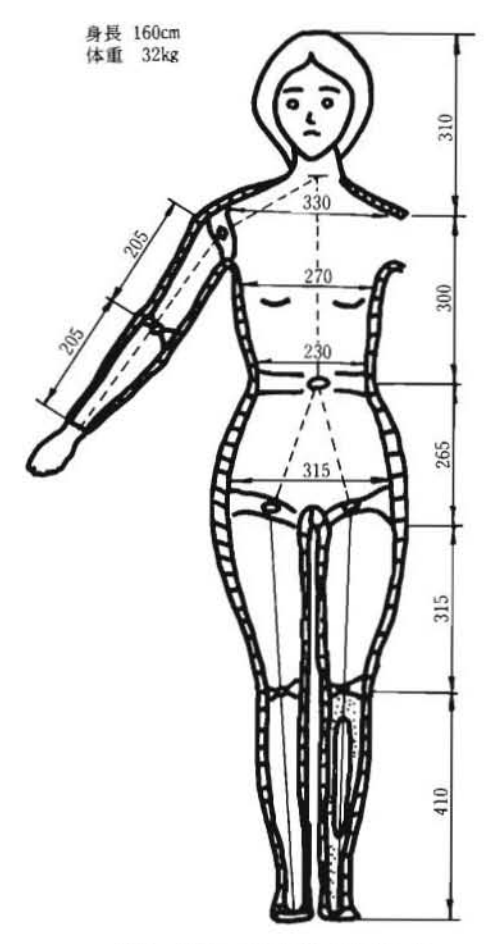


図3 ダミーの概略図(単位mm)

4. 実験項目

- (1) ネットの緩衝性能 (減速度) の測定
- (2) ネットの変位測定
- (3) ネットの支持点反力の測定
- (4) ネット上に落下したダミーの挙動観察

5. 実験設備及び実験方法

図4,写真1~3に示すとおり鉄製のパイプで、組み立てた架台(5 m角で高さ4.5m)にネットを8点及び12点で結着支持し、その隅部と辺部中央のそれぞれ1ヵ所に荷重変換器を取り付けた。また、架台の裏側にネットの変位を測定するための目盛板を設置した。加速度変換器を内蔵した砂袋は、ウインチによりネット底部より3m及び5mの高さに吊り上げ、落下装置により自由落下させた。

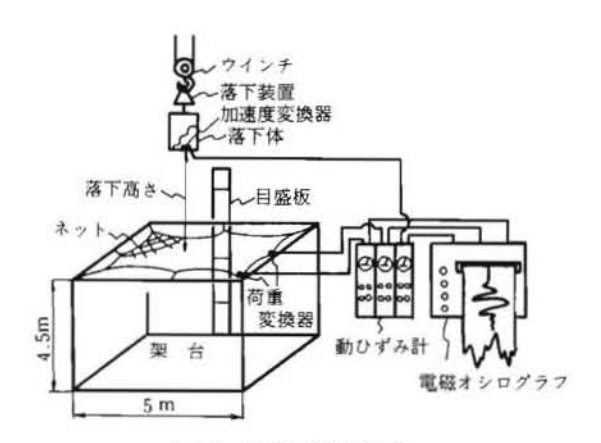


図4 実験装置概略図

表 2 ダミー各部の重量配分

	重量配分	
身体部位名	Braun, Fisher の配分比(%)	試作ダミーの配分比(%)
頭部および頭	7.06	6.0
身 幹 部	42.7	40.0
上 膊 部	7.2	8.0
前 膊 部および手部	6.24	5.0
大 腿 部	23.1	25.0
下 腿 部および足部	14.1	16

※ 文献値川による

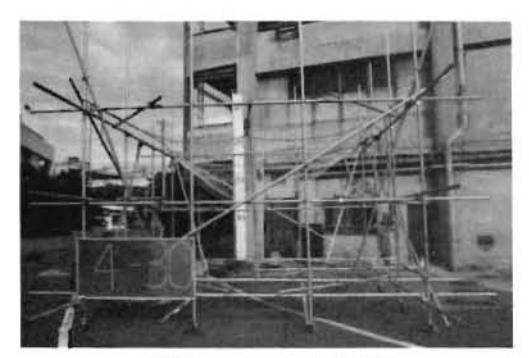


写真1 ネット設定状況

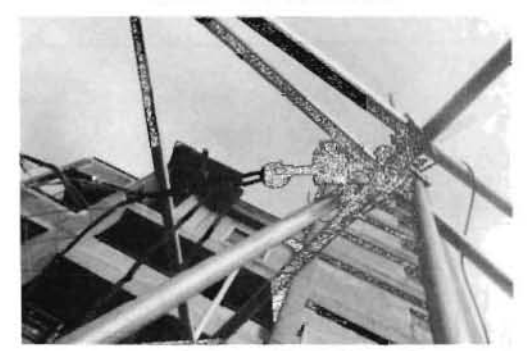


写真2 ネット関角部に荷重変換器を取り付けた 状況



写真3 ネット辺部中央に荷重変換器を取り付け た状況

砂袋の減速度とネット支持点反力の測定は、加速度変換器及び荷重変換器の出力を動ひずみ計で増幅し、電磁オシログラフに記録させる方法で行った。ネットの変位については、高速度カメラにより毎秒50コマで撮影し、目盛板の読みから求めた。

ダミーの落下実験及びダミーの挙動観察は、ネットを8点で結着支持し、ウインチによりダミーを7 mの高さに吊し、背、胸、腰、足、頭方向からそれぞれ落下させた時の挙動を高速度カメラにより毎秒100コマで撮影すると同時に35mmカメラで連写した。

ネットの破断実験については、砂袋をくり返し 落下させ、ネットが破れるまで行った。

6. 使用用語の定義

(1) 減速度 (G)

Gとは、加速度を表わす単位であり、白由落下による加速度9.8m/s²をIGとする。また、一般に速度が増加する場合を加速度といい、速度が減少する場合を減加速度(減速度)という。

(2) 衝撃力 (F=mα)

速度が急激に変化する場合の力を特に衝撃力 という。

(3) 支持点反力

ネットの支持点に加わる力をいう。

(4) ネット変位

落下体が落下した時、ネット底部の沈み量を いう。

7. 実験結果及び考察

(1) 減速度について

図5は、ネットを8点及び12点で結着支持し、落下体を落下させた時の減速度の測定結果である。両者の緩衝性を比較してみると8点支持の方が若干緩衝性がよいことがわかった。ネット展張時の支持点のとり方は、ネットの大きさや支持ローブの強度などを考慮し適正な支持点数にする必要があると思われる。今回の供試ネットについては、4隅及び4辺中央の合計8点を結着支持し一連の実験を行った。

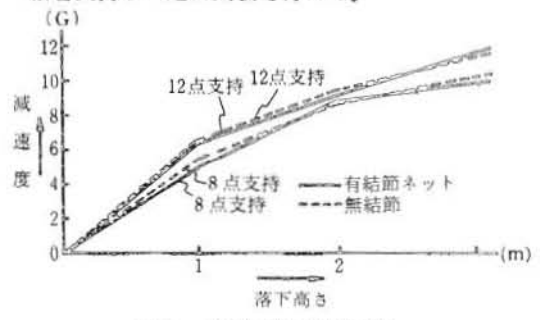


図5 支持点数と減速度

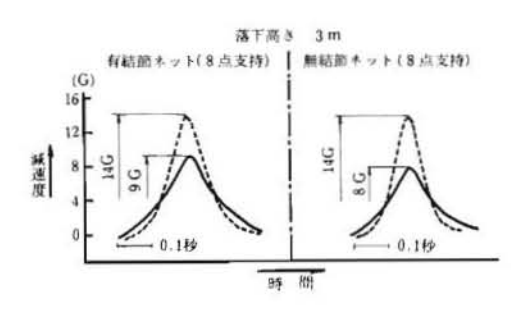
図 6, 図 7 は、8 点結着支持で砂袋を 3 m及び 5 m の高さから落下させたものである。有結節,無結節ともに同様の傾向を示し、3 m の高さから1回目の落下では、有結節で 9 G,無結節で 8 G と小さく緩衝性がよいことがわかる。しかし、1回目の落下により急激に緩衝力が弱

まり $4\sim5$ 回落下すると $14\sim15$ G でほぼ一定となる。落下高さ5 m の時も同様の傾向で、1 回目の時 $13\sim14$ G程度、 $4\sim5$ 回落下すると17 G でほぼ一定となる。

また、図8、図9に緩衝性のないコンクリート舗装道路に落下した場合の減速度を示したが、 地上50cmの高さからの落下で20G、3 mでは56 Gとなる。

加速度が人体に及ぼす傷害についての文献資料によると、航空機の脱出座席の場合、加速度の上限を20Gにとって設計している。これは、人体実験のデータに基づくもので20G以下が安全域、20Gを超え40G以下を中等度受傷域、40Gを超えると重傷域としている。また、加速度の作用時間によっても安全な領域といわれるGの値が異なっている。(表3参照)

これらのデータを基に安全ネットの実験結果 及びコンクリート舗装道路面上への落下時のG の値を考察すると、安全ネットの場合は作業高 さをネット底面より5m以下に設定する必要 がある。また、直接道路面に落下した場合には、 高さ50cmの落下でも20Gとなり、安全域を超え てしまうことになる。



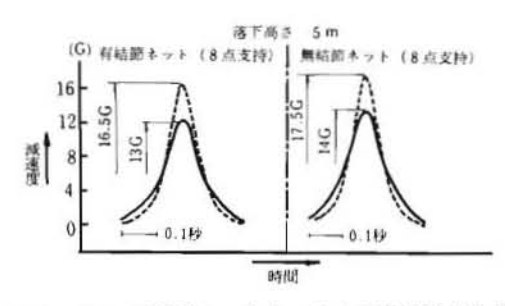


図6 64kgの砂ダミーをネット上に落下させた時 の減速度

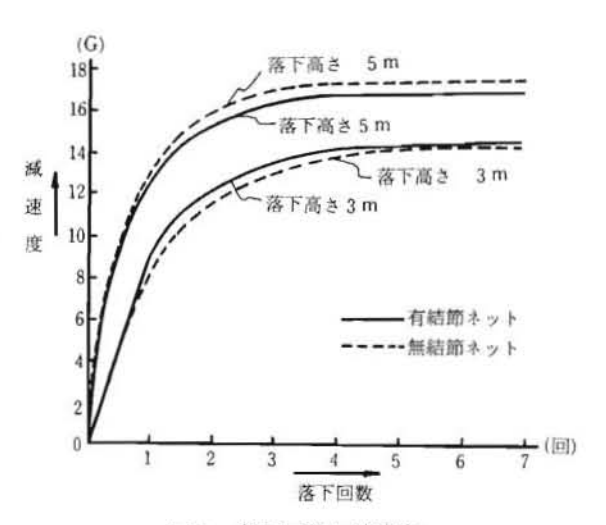


図7 落下回数と減速度

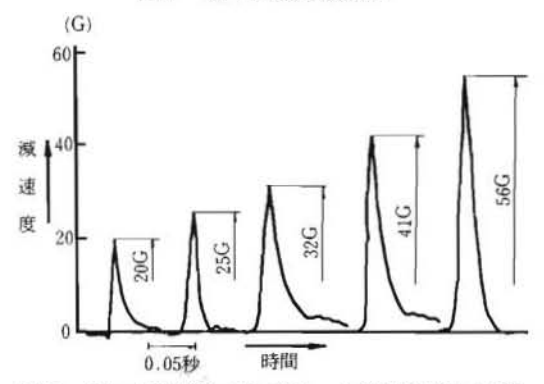


図8 64kgの砂袋をコンクリート舗装道路上に落 下させた時の減速度

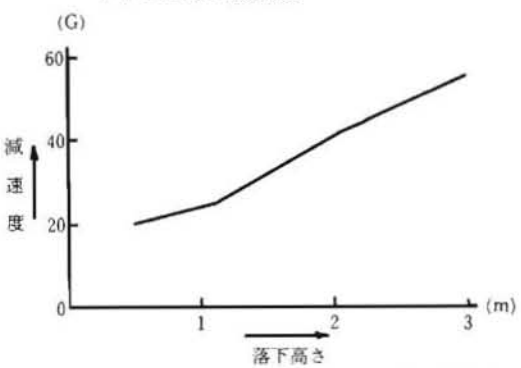


図9 コンクリート上へ落下させた時の滅速度 表3 加速度の作用時間と安全なGの値

加速度の作用時間	安全なGの値
0.2 秒	5G 以下
0.1 秒	10G 以下
0.05秒	16G 以下
0.04秒以下	18G 以下

(2) ネットの変位について

ネットの変位は、図10に示したとおり減速度 とほぼ正反対の傾向を示し、1回目の落下では 2 m程度と変位が大きく、それ以降急激に減少 し1 m程度でほぼ一定となる。このことからも 1回目の落下が最も緩衝性がよいことがわかる。

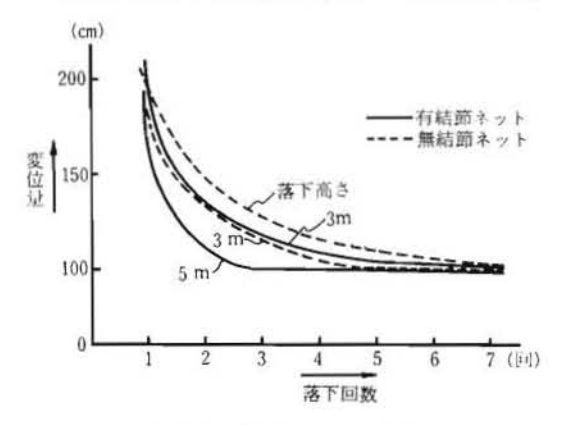


図10 落下回数と変位量

ネットを設定する際に支持部の高さを決める 目安として次の式がある。

ネットの支持点高さH (m) は,

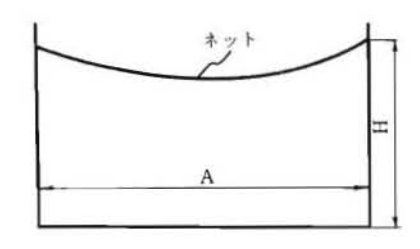
H≥0.85× (L+3A)/4 ····· (10cm網目)

H ≥ 0.95× (L+3A)/4 ······ (5 cm網目) ここで

L:ネットの短辺長 (m)

A:ネット周辺の支持間隔 (m)

ただし、A≥Lの範囲では、A=Lとする。



(3) 支持点反力について

ネットを展張する場合、十分な強度がある所に結着しなければならないが、この強度については落下高さ、支持点数などで異なるため一概にはいえない。今回の実験では、5 mの高さからの1回目の落下で隅部の反力は350kg程度、辺部中央の反力は150kg程度であった。隅部の反力が辺部中央の反力より大きいのは辺部に作用した力の合力が加わるためである。

(4) ダミーの挙動について

写真4~8は、ダミーを7mの高さから落下させた時の挙動である。写真4は背中からのもので、落下後ネットが最も沈んだ状態のとき、ダミーの腹部がかなり圧迫されている。しかし、人体の構造から推察しても最も安全な体位であると思われる。

写真5は、胸からのもので、ネットによって ダミーが逆えびの形になり、内臓及び背骨等に かなり負担がかかり、非常に危険である。

写真6は、腰からのもので、背中からの落下 とよく似ているが、落下後人体が多少不安定で ある。

写真7は、足からのもので、生理的には足か ら飛び降りたくなるが、ネットに接触後体のバ ランスをくずし外へ飛び出す可能性もある。ま た、足を骨折する危険性が非常に高く、今回の 実験ではダミーの膝の関節部分が折損した。

写真8は、頭からのもので、この方向はいうまでもなく非常に危険であり、首や背骨にかなり負担がかかるため骨折等は必至である。今回の実験では、写真9及び10のように腰部及び頭部が損壊した。

(5) ネットの破壊について

ネットに砂袋を $3\sim7$ mの高所から合計36 回落下させた結果、ネット中央が破れ砂袋が貫通した。

8. ま と め

落下実験における砂袋の挙動を観察した結果, 特にネットの張り方が強いと砂袋がネット上でバ ウンドし、ネットの外へ飛び出してしまうことが ある。従って、安全ネットによって人体を受け止 めるには、ネットの展張方法、性能及び人体落下 時の挙動等を十分に熟知しておく必要がある。

ネットの緩衝特性については、落下高さが5 m 程度でもダミーが受ける減速度Gはかなり大きく、 また、落下時の人体の姿勢によっても二次的傷害 が発生するおそれもあるので訓練等においても十 分に注意する必要がある。

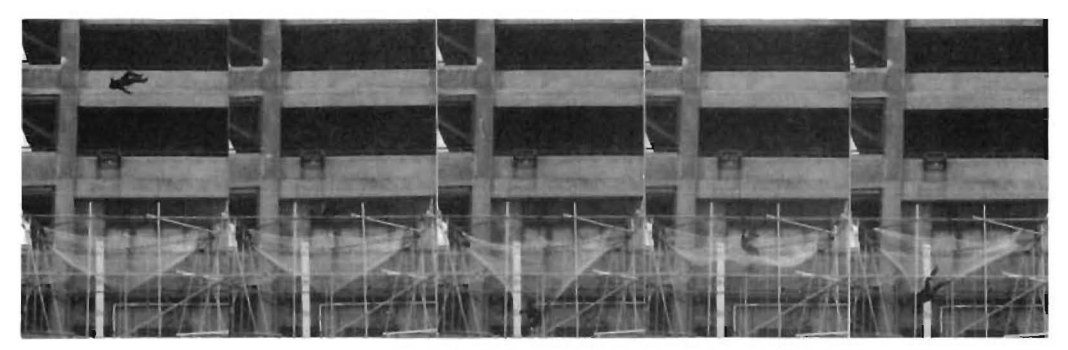


写真 4 背中からの落下によるダミーの挙動

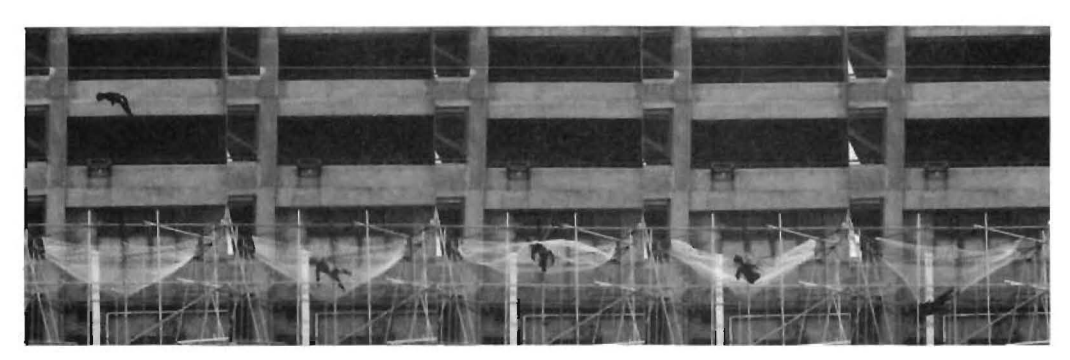


写真 5 胸からの落下によるダミーの挙動

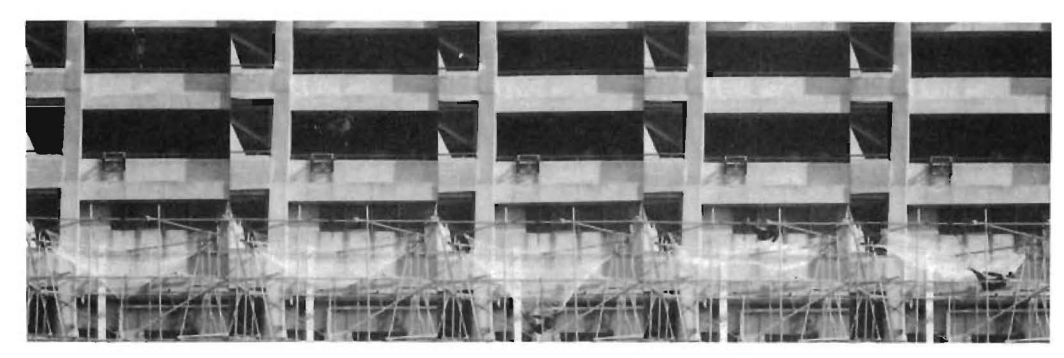


写真 6 腰からの落下によるダミーの挙動

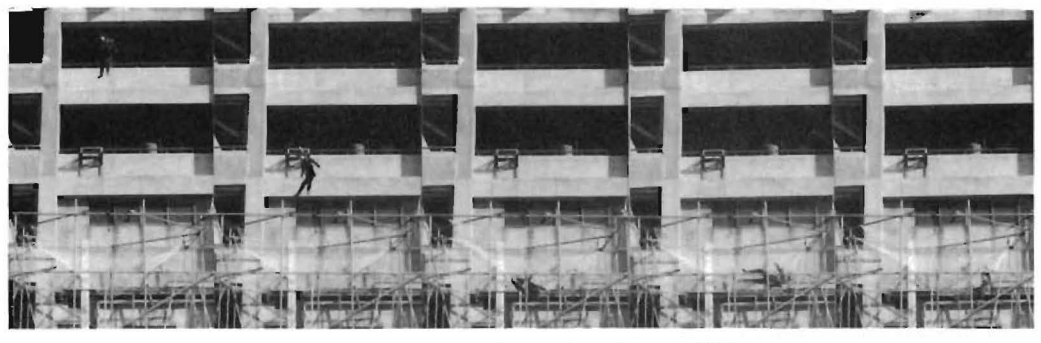


写真 7 足からの落下によるダミーの挙動

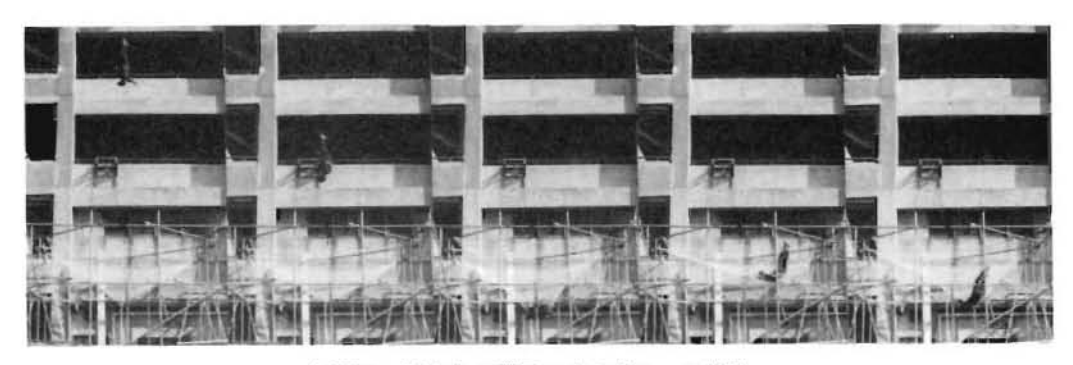


写真8 頭からの落下によるダミーの挙動



写真 9 腰部の損傷状況



写真10 頭部の損傷状況

9. 参考文献

- (1) 木村鈞一他, 産業安全研究報告(1971)
- (2) 社団法人仮設工業会,安全ネット認定基準草 案 (1979)
- (3) 科学技術庁, 人間機能データブック, 人間 環境系(上巻)